

Быстрая сверточная нейронная сеть сверхвысокого разрешения изображения

Черкашин Александр Михайлович

Приамурский государственный университет имени Шолом-Алейхема

Студент

Аннотация

В данной статье описан процесс использования модели нейронной сети для улучшения качества изображения с увеличением разрешения. В работе использовалась библиотека Torch, модель, и представленный набор данных. В результате работы получены метрика и оценка модели для улучшения качества изображения с увеличением разрешения.

Ключевые слова: FSRCNN, Сверточные нейронные сети, Сверхвысокого разрешения, Torch.

Creating the effect of moving stars in the shader language

Cherkashin Alexander Mihailovich

Sholom-Aleichem Priamursky State University

student

Abstract

This article describes the process of using a neural network model to improve image quality with increasing resolution. The Torch library, the model, and the presented data set were used in the work. As a result of the work, a metric and an estimate of the model were obtained to improve the image quality with increasing resolution.

Keywords: FSRCNN, Convolutional Neural Network, Super-Resolution, Torch.

1 Введение

1.1 Актуальность исследования

Актуальность исследования заключается в ее потенциале для значительного улучшения задач обработки изображений и видео, таких как улучшение изображений с низким разрешением. Предлагаемая модель также может быть использована в таких отраслях, как развлечения, фотография и игры.

1.2 Цель исследования

Целью работы является создания и обучение модели для увеличения разрешения изображения с улучшением качества.

1.3 Обзор исследований

К. Жанг, Ц. Зуо, Л. Жанг рассматривает единую сверточную сеть для устранения множественных деградаций, они смогли достичь превосходных результатов по сравнению с традиционными методами супер-разрешения. Эксперименты, проведенные на различных наборах данных, показывают, что предлагаемый их подход не только дает высококачественные результаты, но и значительно сокращает время вычислений. В целом, это исследование очень важно для области обработки изображений и представляет многообещающее направление для будущих исследований [1].

Л. С. Пассарелла и др. отмечает разработку быстрого нейронной сети (FSRCNN) для реконструкции данных моделирования системы Земли с высоким разрешением (ESM). В исследовании представлены многообещающие результаты, что указывает на то, что предлагаемый метод FSRCNN превосходит традиционные методы интерполяции с точки зрения точности и времени вычисления. Применение исследователей в области глубокого обучения в области моделирования и моделирования климата повышает точность и качество данных ESM, что имеет решающее значение для развития нашего понимания сложных систем Земли. В целом, это исследование полезно в разработке передовых методов обработки данных, которые могут помочь преодолеть разрыв между разрешением данных ESM и масштабом природных явлений [2].

С. Парк и др. предлагает в области здравоохранения и медицины подход к супер-разрешению изображений магнитно-резонансных (МРТ) с использованием метода сверточной нейронной сети, основанного на автоэнкодере. Техника генерирует изображения с более высоким разрешением от МРТ с низким разрешением, что может значительно повысить диагностическую точность процедур медицинской визуализации. В статье подробно описывается реализация и производительность предлагаемого метода с помощью различных экспериментов, показывая многообещающие результаты с точки зрения улучшения качества изображения. В целом, исследование дает ценную информацию о разработке передовых методов визуализации МРТ с потенциальными клиническими применениями в будущем [3].

Ц. Донг, Ц. Ц. Лы, Х. Танг провели исследование по повышению эффективности сверточной нейронной сети супер разрешения. В их исследовании используется инновационный метод использования компактной структуры сети для минимизации вычислительных расходов при сохранении высоких уровней точности. Результаты демонстрируют значительные достижения как в скорости, так и в качестве улучшения изображения. В целом, это исследование является важным вкладом в область компьютерного зрения и, несомненно, повлияет на будущие разработки в области обработки изображений с высоким разрешением [4].

Й. Чэнь и др. исследуют сверхрезок МРТ мозга с использованием 3D глубоко плотно связанных нейронных сетей представляют многообещающие результаты для улучшения разрешения и качества изображений МРТ. В

исследовании использовались большой набор данных и передовые методы машинного обучения для улучшения деталей и ясности изображений мозга. Использование исследователями в 3D глубоко плотных связанных нейронных сетях представляет собой новый подход к супер разрешению изображения, и их результаты могут иметь значительные последствия как для клинических, так и для исследований. В целом, это исследование дает ценную информацию о потенциале методов глубокого обучения для улучшения медицинской визуализации и создает основу для будущих достижений в этой области [5].

В. Ли и др. Рассматривает задачу использования информации для супер-разрешения изображения, что является важным аспектом анализа изображений. Авторы разработали метод, который использует игровое обучение для обучения сети глубокого обучения для повышения производительности в супер-разрешении изображения. Результаты исследования показывают, что предложенный метод повышает точность и скорость супер-разрешения изображения. В целом, исследование предоставляет ценную информацию, которая будет способствовать разработке передовых методов анализа изображений в будущем [6].

В. Мане, С. Ядхав, П. Лал описывают сверхразрешение MRI с использованием 3D более быстрого супер-разрешения архитектуры нейронной сети которое дает новое представление о разработке передовых методов обработки изображений для медицинской визуализации. Исследование показывает многообещающие результаты в суперразрешающих МРТ с низким разрешением, которые могут повысить точность медицинской диагностики и лечения. Использование алгоритмов глубокого обучения и нейронных сетей также предлагает новый подход, который потенциально может снизить зависимость от человеческого опыта и ручных вмешательств в обработке изображений. В целом, это исследование имеет значительные последствия для продвижения медицинской визуализации и потенциально может внести ценный вклад в область диагностики и лечения [7].

Л. С. Пассарелла и др. исследуют использование быстрой сверточной нейронной сети (FSRCNN) в улучшении разрешения климатических данных. Исследование показало, что FSRCNN является многообещающим подходом для улучшения разрешения климатических данных, поскольку он не только быстрее, чем традиционные методы интерполяции, но и обеспечивает более высокие результаты качества. В целом, это хорошо выполненное исследование, которое дает ценную информацию для исследователей в области климатической науки [8].

С. М. Уорд и др. исследуют оценку качества изображения как средство определения эффективности и ограничений сверточной нейронной сети супер-разрешения (SRCNN). Они углубляются в различные показатели оценки качества изображения и оценивают эффективность SRCNN по сравнению с традиционными методами интерполяции. Результаты их исследования демонстрируют потенциал SRCNN в качестве многообещающего подхода для улучшения разрешения изображений, подчеркивая его превосходную производительность с точки зрения визуального качества и объективных

оценок. В целом, это исследование дает ценную информацию о возможностях SRCNN и его потенциальных приложениях в области обработки изображений [9].

Х. Рен, М. Эль-Хами, Й. Ли используют глубокие сверточные нейронные сети, команда разработала каскадную обученную и обрезанную сеть, которая способна точно улучшить разрешение изображения. Их исследование представляет собой убедительный аргумент в пользу эффективности CT-SRCNN и дополнительно демонстрирует его способность превосходить существующие методы супер-разрешения. Это исследование предлагает ценный вклад в область компьютерного зрения и обработки изображений и имеет перспективы для будущих приложений в ряде отраслей [10].

С. К. Вб. предлагает метод включает использование глубокой нейронной сети, обученной на большом наборе данных изображений с низким разрешением, для создания версий этих изображений с высоким разрешением. Авторы оценивают эффективность своего подхода, используя различные показатели качества изображения, и сравнивают его с другими современными методами. Результаты показывают, что подход SRCNN очень эффективен для улучшения качества восприятия изображений с низким разрешением [11].

Н. Абураед. используют алгоритмы глубокого обучения для повышения разрешения и четкости изображения в гипертральных изображениях дистанционного зондирования, которые имеют явное применение в области наблюдения за Землей и спутниковой съемки. Результаты показывают заметное улучшение качества изображения, измеряемое пиковым отношением сигнал-шум и индексом структурного подобия. В нем подчеркивается потенциал подходов, основанных на глубоком обучении, для улучшения обработки изображений и анализа данных в областях дистанционного зондирования [12].

С. Янг, Х. Шанг сосредотачиваются на разработке метода объединения пространственно-временной информации из данных мультисенсорного дистанционного зондирования с использованием разреженного представления и сверточной нейронной сети сверхвысокого разрешения (SRCNN). Этот тип исследований имеет потенциальное применение в таких областях, как мониторинг окружающей среды и реагирование на стихийные бедствия. В целом, исследователи в области дистанционного зондирования могут найти это исследование актуальным и информативным [13].

К. Праджапати и др. предлагает новый подход к суперразрешению тепловых изображений с использованием сверточной нейронной сети с разделением каналов (Chasnet). Результаты их экспериментов показывают, что Chasnet превосходит другие современные методы сверхвысокого разрешения, достигая лучшего качества изображения с точки зрения визуального восприятия и объективных показателей оценки. В исследовании дается подробное описание предлагаемого метода, включая архитектуру сети, функцию потерь и процедуру обучения. В целом, исследование представляет собой важный вклад в область сверхвысокого разрешения тепловизионных

изображений с потенциальными приложениями в различных областях, таких как наблюдение, медицинская визуализация и промышленный контроль [14].

Б. З. Демираы, М. Сит, И. Демир предлагают такой подход на основе глубоких сверточных нейронных сетей для эффективного сверхразрешения изображений. Подход включает использование состязательного обучения для создания более реалистичного изображения с высоким разрешением из изображения с низким разрешением. В исследовании утверждается, что оно дает лучшие результаты, чем современные методы сверхвысокого разрешения [15].

Б. Зоу представляет собой реконструкции инфракрасных изображений со сверхвысоким разрешением с использованием сверточной нейронной сети с пропуском соединений. Авторы демонстрируют свой подход на смоделированных и реальных инфракрасных изображениях и сообщают о значительном улучшении качества изображения по сравнению с традиционными методами сверхвысокого разрешения. Использование пропускных соединений позволяет сети включать информацию из слоев с более низким разрешением, что позволяет ей лучше восстанавливать мелкие детали. В целом, исследование представляет собой многообещающий подход к улучшению разрешения инфракрасных изображений, который может найти применение в таких областях, как дистанционное зондирование и медицинская визуализация [16].

2 Рабочий процесс

2.1. Набор данных

Исходные данные взяты сайта wallhaven.cc. В исходных данных представлено серия изображения высокого разрешения случайно подобранных любых тем и любых размеров.

Мы загружали изображения количеством 512 в программу, и количество копий изображений - 100, количество одновременно для обучающей серии изображения (batch_size) - 16 (рис 1).

Каждое загруженное изображение обрабатывается поэтапно:

1. Обрезается с размером на 512x512 пикселей случайного расположения.
2. Уменьшается до 80x80 пикселей.
3. Случайно поворачивается на максимум 360 градусов.
4. Преобразуется цветовая модель в YCrCb и в однокомпонентный цвет в Y.
5. Разделяется на два части, одно изображение - полный размер (названия hr), а второе - уменьшенный размер в 2 раза (название lr).
6. Преобразуется в тензор.

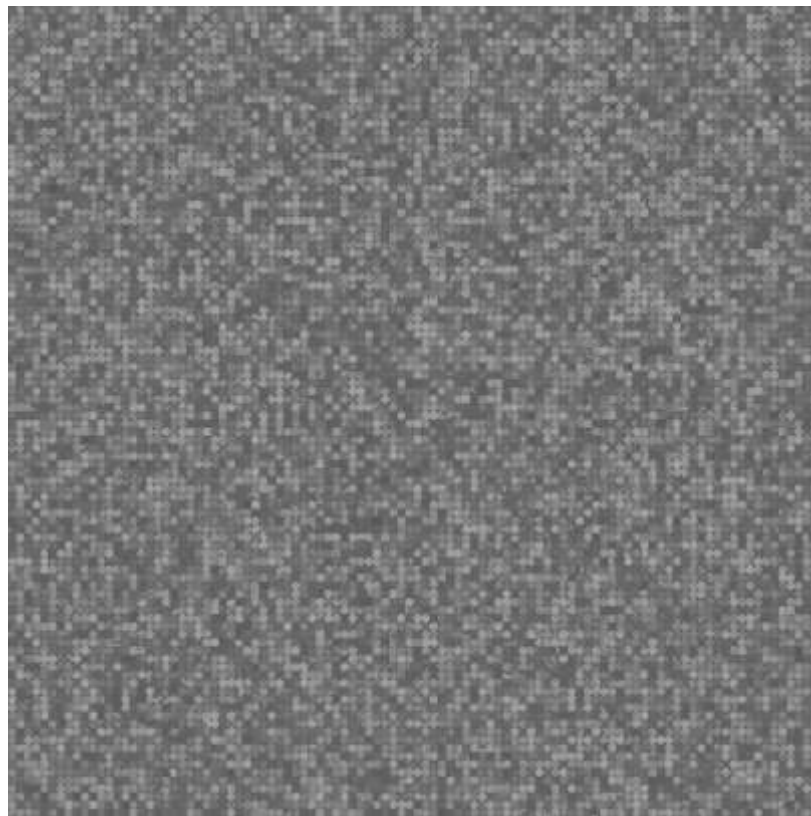


Рисунок 1. Обработанный набор данных, представленные по количеству 10000, по размеру 40x40



Рисунок 2. Результат загрузки и обработки набора данных

Количество загруженных изображения 51200 на каждый класс lr, hr. Всего 102400. Размер изображения lr — 40x40, hr — 80x80.

Листинг 2.1. Набор действия для обработки набор данных

| | |
|---|---|
| 1 | self.resize_image = 512 |
| 2 | self.transform = [|
| 3 | Transforms.Compose([|
| 4 | transforms.RandomCrop(self.resize_image), |
| 5 | transforms.Resize(self.size_image * self.upscale_factor), |
| 6 | transforms.RandomRotation(360), |
| 7 | Transforms.ColorConvert("rgb", "ycrcb", "cv2"), |
| 8 | transforms.Grayscale(num_output_channels=1), |
| 9 | [Transforms.Empty(), transforms.Resize(self.size_image)], |

| | |
|----|-----------------------|
| 10 | transforms.ToTensor() |
| 11 |) |
| 12 |] |

Строка 1 - размер изображения

Строка 2 — 11. Список действия для обработки набор данных.

2.1. Модель

В данной статье описывается модель FSRCNN (fast super resolution convolutional neural network, быстрая сверточная нейронная сеть со сверхвысоким разрешением), с краткими пересказами из автора статьи Ц. Донг, Ц. Ц. Лой, Х Танг [4].

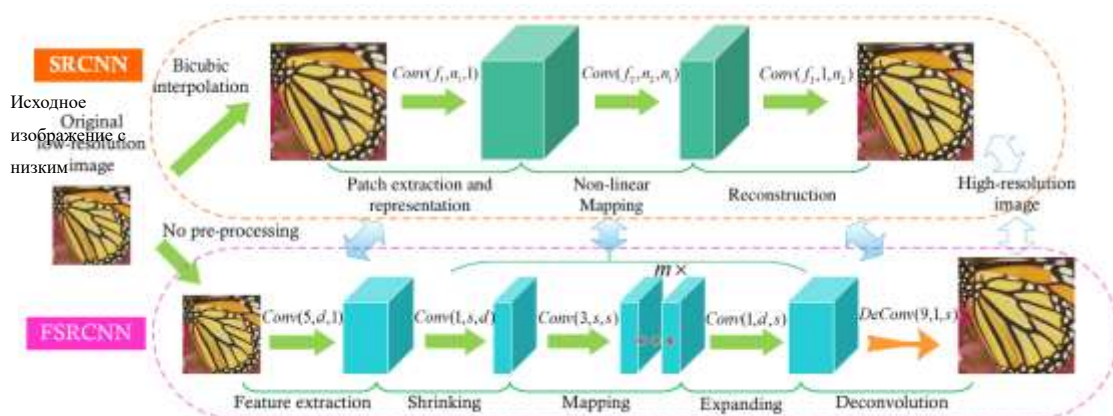


Рисунок 3. Различие SRCNN от FSRCNN

В отличие SRCNN (super resolution convolutional neural network, сверточная нейронная сеть сверхвысокого разрешения) от FSRCNN (fast super resolution convolutional neural network, быстрая сверточная нейронная сеть со сверхвысоким разрешением) FSRCNN принимает исходные изображения с низким разрешением, в качестве входных данных без бикубической интерполяции. В конце сети слоя вводится обратная свертка (Deconvolution) для повышения частоты дискретизации.

В второй этап, нелинейное отображение в SRCNN заменяется тремя шагами в FSRCNN, а именно, этапом сжатия, отображения и расширения.

В третий этап FSRCNN использует фильтры меньшего размера и более глубокую сеть (рис 2).

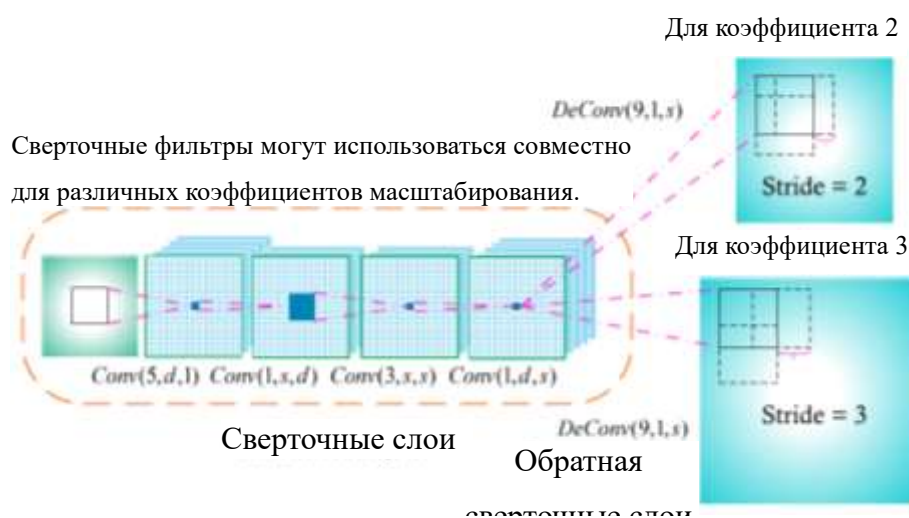


Рисунок 4. Структура слоя FSRCNN для различных коэффициента масштабирования

Листинг 2.2. Структура модели FSRCNN

```

FSRCNN(
  (feature_extraction): Sequential(
    (0): Conv2d(1, 56, kernel_size=(5, 5), stride=(1, 1), padding=(2, 2))
    (1): PReLU(num_parameters=56)
  )
  (shrink): Sequential(
    (0): Conv2d(56, 12, kernel_size=(1, 1), stride=(1, 1))
    (1): PReLU(num_parameters=12)
  )
  (map): Sequential(
    (0): Conv2d(12, 12, kernel_size=(3, 3), stride=(1, 1), padding=(1, 1))
    (1): PReLU(num_parameters=12)
    (2): Conv2d(12, 12, kernel_size=(3, 3), stride=(1, 1), padding=(1, 1))
    (3): PReLU(num_parameters=12)
    (4): Conv2d(12, 12, kernel_size=(3, 3), stride=(1, 1), padding=(1, 1))
    (5): PReLU(num_parameters=12)
    (6): Conv2d(12, 12, kernel_size=(3, 3), stride=(1, 1), padding=(1, 1))
    (7): PReLU(num_parameters=12)
  )
  (expand): Sequential(
    (0): Conv2d(12, 56, kernel_size=(1, 1), stride=(1, 1))
    (1): PReLU(num_parameters=56)
  )
  (deconv): ConvTranspose2d(56, 1, kernel_size=(9, 9), stride=(2, 2), padding=(4, 4), output_padding=(1, 1))
)

```

Модель использована в программе [17].

Feature extraction: это часть похожа на первую часть SRCNN, но FSRCNN выполняет извлечение признаков исходного изображения LR без интерполяции. Размер фильтра 5 x 5.

shrink: На этом этапе извлекаются признаки LR и затем сокращается количество параметров ради сокращения вычислительной сложности. Размер ядра фильтра 1 x 1 использовали слой для уменьшения вычислительные сложности.

Non-linear mapping (Map): Нелинейное отображение, слой размер фильтра 5 x 5 дает лучшее качество чем размер 1 x 1, однако соотношение производительность и качество выбрали размер 3 x 3. Чтобы улучшить

качество изображение использовали несколько слоев, чтобы увеличить точность и сложность отображения (рис 3).

Expanding (expand): Расширяющийся слой действует как обратный сжимающемуся слою.

Deconvolution: Слой (обратная свертка) повышает дискретизацию и агрегирует данные и объединяет предыдущие функции с помощью набора фильтров обратной свертки. В результате обработки слоя на выходе получается размер изображение k раз больше чем входное и исходное размер изображения.

PReLU: Функция активация после каждый слоя свертки, используется чтобы избежать «мертвые признаков» (затухающий градиента) полученных нулевыми градиентами в ReLU. Сеть использующийся активатора PReLU более стабильные чем сети активатора ReLU.

Листинг 2.3. Параметры для обучения модели

```

1 self.lr = 1e-3
2 self.upscale_factor = 2
3 self.model = {
4     "fsrcnn": FSRCNN(self.upscale_factor).to(self.device)
5 }
6 self.optimizer = {
7     "fsrcnn": optim.SGD({"params": self.model["fsrcnn"].feature_extraction.parameters()),
8                         {"params": self.model["fsrcnn"].shrink.parameters()},
9                         {"params": self.model["fsrcnn"].map.parameters()},
10                        {"params": self.model["fsrcnn"].expand.parameters()},
11                        {"params": self.model["fsrcnn"].deconv.parameters(), "lr": self.lr * 0.1}},
12     lr=self.lr,
13     momentum=0.9,
14     weight_decay=1e-4,
15     nesterov=False)
16 }

```

Строка 1. Скорость обучения.

Строка 2. Кратность увеличения изображения.

Строка 3 — 5. Модель FSRCNN.

Строка 6 — 16. Оптимизатор SGD.

2.2. Обучение



Рисунок 5. Обучение модели

Программа написана на языке Python, где использовалась библиотека Torch. Программа выполняет обучение модели (рис 5), задано кол-во эпох 100, скорость обучение 0.001. Для выполнения программы использовался графический ускоритель TU117 (GTX 1650).

Для оценки модели применяется метрика MSELoss для обучение, для оценки качество изображения при увеличении разрешение использовалась метрика PSNR для оценки тестов.

Листинг 2.4. Функция для обучение модель

```
1 def step_train(self, sel: any, index :int) -> None:
2     super().step_train(sel, index)
3     model = self.model["fsrcnn"]
4     lr = sel["lr"].to(self.device)
5     hr = sel["hr"].to(self.device)
6     model.zero_grad()
7     with amp.autocast():
8         sr = model(lr)
9         loss = self.pixel_criterion(sr, hr)
10    self.gradScaler.scale(loss).backward()
11    self.gradScaler.step(self.optimizer["fsrcnn"])
12    self.gradScaler.update()
13    psnr = 10. * torch.log10(1. / self.psnr_criterion(sr, hr))
14    self.metric.loss = loss.item()
15    self.metric.psnr = psnr.item()
```

Строка 2, заглушка.

Строка 3 — 5, загрузка данных, lr — изображения низкого разрешения, hr — исходный изображения.

Строка 6 — 12. обучаем модель.

Строка 13 — 15. сохраняем метрику в список.

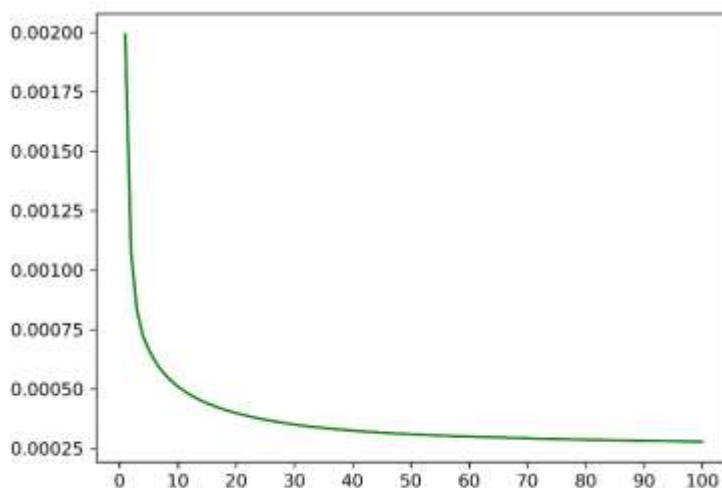


Рисунок 6. Функция потерь (метрика MSELoss)

В результате обучение, получили значение функция потерь (по оси Y) при 100 эпох (по осью X) значение 0.000278 (рис 6). Для оценки качества

улучшения изображения после увеличения размера использовалась функция PSNR, при 100 эпох значение достигла 35.556499 (рис 7).

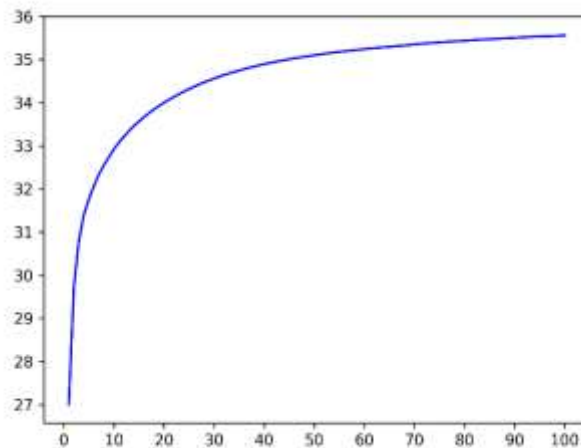


Рисунок 7. Функция PSNR.

$$\text{PSNR}(I, J) = 10 * \log_{10} \left(\frac{\text{MAX}_I^2}{\text{MSE}} \right)$$

Рисунок 8. Формула PSNR.

Время выполнение обучение было 5505.294 секунда (1 час, 31 минута, 45.294 секунда).

2.3. Предсказание



Рисунок 9. Слева исходное изображения, справа увеличенное изображение (PSNR 13.7963)

Листинг 2.5. Предобработки изображение для предсказания модели

```

1 self.to_ycbcr = Trans.ColorConvert("rgb", "ycrcb", "cv2")
2 self.from_ycbcr = Trans.ColorConvert("ycrcb", "rgb", "cv2")
3 self.transform_predict = Trans.Compose([
4     self.to_ycbcr,
5     [Trans.Empty(), Trans.Gray(0)],
6     transforms.ToTensor()
7 ])

```

Строка 1 — 2 и 4. Преобразование цвета в YCrCb, и в RGB.

Строка 5. Клонирование изображение, второй изображение в монохромный канал.

Строка 6. Преобразует в тензор.

Листинг 2.6. Функция для предсказания модели, увеличение изображения

```
1 def predict(self, pic :any) -> any:
2     self.model["fsrcnn"].to("cpu").eval()
3     apic = np.array(pic)
4     hr_img, lr_img = self.transform_predict(apic)
5     hr_img = hr_img.unsqueeze(0).to(torch.float32)
6     lr_img = lr_img.unsqueeze(0).to(torch.float32)
7     sr_img = self.model["fsrcnn"](lr_img).clamp_(0.0, 1.0)
8     hr_img = nnf.interpolate(hr_img, size=sr_img.shape[2:], mode='bicubic', align_corners=False)
9     psnr = 10. * torch.log10(1. / torch.mean((sr_img - hr_img[0]) ** 2))
10    hr_img = hr_img.squeeze(0).cpu().detach().numpy() * 255.0
11    sr_img = sr_img.squeeze(0).cpu().detach().numpy() * 255.0
12    res_img = np.moveaxis(np.concatenate((sr_img, hr_img[1:]), axis=0), 0, -1)
13    res_img = self.from_ycbcr(res_img.astype(np.uint8))
14    if type(pic) == Image.Image:
15        return Image.fromarray(res_img.astype(np.int8), pic.mode), psnr
16    return res_img, psnr
```

Строка 1. Функция выполняет обработку и предсказание модели

Строка 2. Переходит модель на CPU и режим выполнения.

Строка 3 — 6. Обработка изображения и перевод изображение в тензор, подготовка предсказание. Преобразования цвета в YCrCb и извлекает канал Y.

Строка 7. Выполнение модели предсказание обработка изображения. Использует только канал Y.

Строка 8 — 9. Увеличение исходный изображения и оценка метрики PSNR.

Строка 10 — 13. Преобразования от тензора в изображения. Заменяет исходное изображение канала Y, и преобразует в цвета RGB.

Строка 14 — 16. Возвращает результат изображения и метрику.

3 Выводы

В данной статье была использована модель быстрой сверточной нейронной сети сверхвысокого разрешения изображения (FSRCNN) для улучшения качества изображения путем увеличения разрешения, а также использовался набор данных без разметки и выбор случайных изображений разного разрешения для обучения модели. Качество после увеличения изображения использования модели оценивали по метрику PSNR и достигли значения равного 35.556499.

Библиографический список

1. Zhang K., Zuo W., Zhang L. Learning a single convolutional super-resolution network for multiple degradations //Proceedings of the IEEE conference on computer vision and pattern recognition. 2018. С. 3262-3271.
2. Passarella L. S. et al. Reconstructing high resolution ESM data through a novel fast super resolution convolutional neural network (FSRCNN) //Geophysical Research Letters. 2022. Т. 49. №. 4. С. E2021GL097571

3. Park S. et al. Autoencoder-inspired convolutional network-based super-resolution method in MRI //IEEE Journal of Translational Engineering in Health and Medicine. 2021. T. 9. C. 1-13
4. Dong C., Loy C. C., Tang X. Accelerating the super-resolution convolutional neural network //Computer Vision–ECCV 2016: 14th European Conference, Amsterdam, The Netherlands, October 11-14, 2016, Proceedings, Part II 14. – Springer International Publishing, 2016. – C. 391-407
5. Chen Y. et al. Brain MRI super resolution using 3D deep densely connected neural networks //2018 IEEE 15th international symposium on biomedical imaging (ISBI 2018). IEEE, 2018. C. 739-742
6. Lee W. et al. Learning with privileged information for efficient image super-resolution //Computer Vision–ECCV 2020: 16th European Conference, Glasgow, UK, August 23–28, 2020, Proceedings, Part XXIV 16. – Springer International Publishing, 2020. C. 465-482
7. Mane V., Jadhav S., Lal P. Image super-resolution for MRI images using 3D faster super-resolution convolutional neural network architecture //ITM Web of Conferences. – EDP Sciences, 2020. – T. 32. – C. 03044
8. Passarella L. S. et al. Super Resolution Reconstruction of E3SM Data Using a FSRCNN //Authorea Preprints. – 2022
9. Ward C. M. et al. Image quality assessment for determining efficacy and limitations of Super-Resolution Convolutional Neural Network (SRCNN) //Applications of Digital Image Processing XL. SPIE, 2017. T. 10396. C. 19-30
10. Ren H., El-Khamy M., Lee J. CT-SRCNN: cascade trained and trimmed deep convolutional neural networks for image super resolution //2018 IEEE Winter Conference on Applications of Computer Vision (WACV). IEEE, 2018. C. 1423-1431
11. Vb S. K. Perceptual image super resolution using deep learning and super resolution convolution neural networks (SRCNN) //Intelligent Systems and Computer Technology. 2020. T. 37. №. 3
12. Aburaed N. et al. 3d expansion of srcnn for spatial enhancement of hyperspectral remote sensing images //2021 4th International Conference on Signal Processing and Information Security (ICSPIS). IEEE, 2021. C. 9-12
13. Yang S., Wang X. Sparse representation and SRCNN based spatio-temporal information fusion method of multi-sensor remote sensing data //Journal of Network Intelligence. 2021. T. 6. №. 1. C. 40-53
14. Prajapati K. et al. Channel split convolutional neural network (ChaSNet) for thermal image super-resolution //Proceedings of the IEEE/CVF Conference on Computer Vision and Pattern Recognition. 2021. C. 4368-4377
15. Demiray B. Z., Sit M., Demir I. D-SRGAN: DEM super-resolution with generative adversarial networks //SN Computer Science. 2021. T. 2. C. 1-11
16. Zou Y. et al. Super-resolution reconstruction of infrared images based on a convolutional neural network with skip connections //Optics and Lasers in Engineering. 2021. T. 146. C. 106717
17. GitHub - Lornatang/FSRCNN-PyTorch: Fast implementation of fsrncn algorithm based on pytorch framework // GitHub URL:

<https://github.com/Lornatang/FSRCNN-PyTorch> (дата обращения: 2023-06-22)

4. Приложения

Листинг 4.1. Исходный код программы

```

1  #!/usr/bin/python3
2  # -*- coding: utf-8 -*-
3
4  import torch
5  import torch.nn as nn
6  import torch.optim as optim
7  from torch.cuda import amp
8  import torch.nn.functional as nnf
9  from torchsummary import summary
10 from torchvision import transforms
11 from typing import Union
12 import numpy as np
13 from PIL import Image
14 import matplotlib.pyplot as plt
15 from Lib.AppMain import *
16 import Lib.Transforms as Trans
17
18 #https://github.com/Lornatang/FSRCNN-PyTorch
19 class FSRCNN(nn.Module):
20     def __init__(self, upscale_factor: int) -> None:
21         self.upscale_factor = upscale_factor
22         super(FSRCNN, self).__init__()
23         self.feature_extraction = nn.Sequential(
24             nn.Conv2d(in_channels=1, out_channels=56, kernel_size=(5, 5), stride=(1, 1), padding=(2, 2)),
25             nn.PReLU(num_parameters=56)
26         )
27         self.shrink = nn.Sequential(
28             nn.Conv2d(in_channels=56, out_channels=12, kernel_size=(1, 1), stride=(1, 1), padding=(0, 0)),
29             nn.PReLU(num_parameters=12)
30         )
31         self.map = nn.Sequential(
32             nn.Conv2d(in_channels=12, out_channels=12, kernel_size=(3, 3), stride=(1, 1), padding=(1, 1)),
33             nn.PReLU(num_parameters=12),
34             nn.Conv2d(in_channels=12, out_channels=12, kernel_size=(3, 3), stride=(1, 1), padding=(1, 1)),
35             nn.PReLU(num_parameters=12),
36             nn.Conv2d(in_channels=12, out_channels=12, kernel_size=(3, 3), stride=(1, 1), padding=(1, 1)),
37             nn.PReLU(num_parameters=12),
38             nn.Conv2d(in_channels=12, out_channels=12, kernel_size=(3, 3), stride=(1, 1), padding=(1, 1)),
39             nn.PReLU(num_parameters=12)
40         )
41         self.expand = nn.Sequential(
42             nn.Conv2d(in_channels=12, out_channels=56, kernel_size=(1, 1), stride=(1, 1), padding=(0, 0)),
43             nn.PReLU(num_parameters=56)
44         )
45         self.deconv = nn.ConvTranspose2d(
46             in_channels=56, out_channels=1, kernel_size=(9, 9), stride=(upscale_factor, upscale_factor),
47             padding=(4, 4), output_padding=(upscale_factor - 1, upscale_factor - 1))
48
49         self._initialize_weights()
50
51     def forward(self, x: torch.Tensor) -> torch.Tensor:
52         out = self.feature_extraction(x)
53         out = self.shrink(out)
54         out = self.map(out)
55         out = self.expand(out)
56         out = self.deconv(out)
57         return out
58
59     def _initialize_weights(self) -> None:
60         for m in self.modules():
61             if isinstance(m, nn.Conv2d):
62                 nn.init.normal_(m.weight.data, mean=0.0, std=np.sqrt(2 / (m.out_channels *
63                     m.weight.data[0][0].numel()))))
64                 nn.init.zeros_(m.bias.data)
65
66                 nn.init.normal_(self.deconv.weight.data, mean=0.0, std=0.001)
67                 nn.init.zeros_(self.deconv.bias.data)

```

```

67
68 class App(AppMain):
69     def main(self):
70         self.dir_prefix = "./Data"
71         self.dirs = {
72             "dataset": "../wallhaven",
73             "dataset_test": "Test",
74             "fig": "Fig",
75         }
76         self.profile_name = "default"
77         self.datasets = None
78         self.model = {}
79         self.optimizer = {}
80         self.auto_save_exit = False
81         self.disp_metric = ["loss", "psnr"]
82         self.metric.loss = None
83         self.metric.psnr = None
84
85         self.device = torch.device("cuda" if torch.cuda.is_available() else "cpu")
86         self.psnr_criterion = nn.MSELoss().to(self.device)
87         self.pixel_criterion = nn.MSELoss().to(self.device)
88         self.init_dirs()
89
90         self.lr = 1e-3
91         self.size_image = 40
92         self.upscale_factor = 2
93         self.model = {
94             "fsrcnn": FSRCNN(self.upscale_factor).to(self.device)
95         }
96         self.optimizer = {
97             "fsrcnn": optim.SGD([{"params": self.model["fsrcnn"].feature_extraction.parameters()},
98                                 {"params": self.model["fsrcnn"].shrink.parameters()},
99                                 {"params": self.model["fsrcnn"].map.parameters()},
100                                {"params": self.model["fsrcnn"].expand.parameters()},
101                                {"params": self.model["fsrcnn"].deconv.parameters(), "lr":
self.lr * 0.1}],
102                                lr=self.lr,
103                                momentum=0.9,
104                                weight_decay=1e-4,
105                                nesterov=False)
106         }
107         self.resize_image = 80
108         self.transform = [
109             Trans.Compose([
110                 transforms.RandomCrop(self.resize_image),
111                 transforms.Resize(self.size_image * self.upscale_factor),
112                 transforms.RandomRotation(360),
113                 Trans.ColorConvert("rgb", "ycrcb", "cv2"),
114                 transforms.Grayscale(num_output_channels=1),
115                 [Trans.Empty(), transforms.Resize(self.size_image)],
116                 transforms.ToTensor()
117             ])
118         ]
119         self.to_ycbcr = Trans.ColorConvert("rgb", "ycrcb", "cv2")
120         self.from_ycbcr = Trans.ColorConvert("ycrcb", "rgb", "cv2")
121         self.transform_predict = Trans.Compose([
122             self.to_ycbcr,
123             [Trans.Empty(), Trans.Gray(0)],
124             transforms.ToTensor()
125         ])
126         self.gradScaler = amp GradScaler()
127         self.add_datasets(transform=self.transform, count_files=512, batch_size=16, count=100, header=["hr", "lr"])
128     def start_train(self) -> None:
129         self.model["fsrcnn"].train()
130     def step_train(self, sel: any, index :int) -> None:
131         super().step_train(sel, index)
132         model = self.model["fsrcnn"]
133
134         lr = sel["lr"].to(self.device)
135         hr = sel["hr"].to(self.device)
136
137         model.zero_grad()
138         with amp.autocast():
139             sr = model(lr)
140             loss = self.pixel_criterion(sr, hr)
141
142         self.gradScaler.scale(loss).backward()
143         self.gradScaler.step(self.optimizer["fsrcnn"])

```

```

144         self.gradScaler.update()
145
146         psnr = 10. * torch.log10(1. / self.psnr_criterion(sr, hr))
147         self.metric.loss = loss.item()
148         self.metric.psnr = psnr.item()
149
150     def gen_image_color(self):
151         img = np.full([64, 64, 3], np.random.randint(0, 255, 3)).astype('uint8')
152         return Image.fromarray(img, 'RGB')
153     def load_image(self, path :str) -> Image.Image:
154         with open(path, "rb") as f:
155             img = Image.open(f)
156             return img.convert("RGB")
157     def save_image(self, path :str, img :Union[np.ndarray, Image.Image]) -> None:
158         pic = None
159         with open(path, "wb") as f:
160             if type(img) != Image.Image:
161                 pic = Image.fromarray(img, "RGB")
162             else:
163                 pic = img
164             pic.save(f)
165     def predict(self, pic :any) -> any:
166         self.model["fsrcnn"].to("cpu").eval()
167         apic = np.array(pic)
168         hr_img, lr_img = self.transform_predict(apic)
169         hr_img = hr_img.unsqueeze(0).to(torch.float32)
170         lr_img = lr_img.unsqueeze(0).to(torch.float32)
171
172         sr_img = self.model["fsrcnn"](lr_img).clamp_(0.0, 1.0)
173         hr_img = nnf.interpolate(hr_img, size=sr_img.shape[2:], mode='bicubic', align_corners=False)
174         psnr = 10. * torch.log10(1. / torch.mean((sr_img - hr_img[0]) ** 2))
175         hr_img = hr_img.squeeze(0).cpu().detach().numpy() * 255.0
176         sr_img = sr_img.squeeze(0).cpu().detach().numpy() * 255.0
177         res_img = np.moveaxis(np.concatenate((sr_img, hr_img[1:]), axis=0), 0, -1)
178         res_img = self.from_ycbcr(res_img.astype(np.uint8))
179         if type(pic) == Image.Image:
180             return Image.fromarray(res_img.astype(np.int8), pic.mode), psnr
181         return res_img, psnr
182     def predict_test(self, pic :any) -> any:
183         self.model["fsrcnn"].to("cpu").eval()
184         apic = np.array(pic)
185         hr_img, lr_img = self.transform_predict(apic)
186         hr_img = hr_img.unsqueeze(0).to(torch.float32)
187         lr_img = lr_img.unsqueeze(0).to(torch.float32)
188
189         lr_img = nnf.interpolate(lr_img, size=tuple((np.array(lr_img.shape[2:]) /
self.model["fsrcnn"].upscale_factor).astype("int32")), mode='bicubic', align_corners=False)
190         sr_img = self.model["fsrcnn"](lr_img).clamp_(0.0, 1.0)
191         psnr = 10. * torch.log10(1. / torch.mean((sr_img - hr_img[0]) ** 2))
192         hr_img = hr_img.squeeze(0).cpu().detach().numpy() * 255.0
193         sr_img = sr_img.squeeze(0).cpu().detach().numpy() * 255.0
194         res_img = np.moveaxis(np.concatenate((sr_img, hr_img[1:]), axis=0), 0, -1)
195         res_img = self.from_ycbcr(res_img.astype(np.uint8))
196         if type(pic) == Image.Image:
197             return Image.fromarray(res_img.astype(np.int8), pic.mode), psnr
198         return res_img, psnr
199
200     def predict_sp(image, size = (40, 40), padding=[0, 0, 0, 0]):
201         grid = Trans.Grid(size)
202         grid_full = Trans.Merge(padding=padding)
203         m = grid(image)
204         d_metric = deque()
205         for i in range(len(m)):
206             r = app.predict(m[i])
207             d_metric.append(float(r[1]))
208             m[i] = r[0]
209         img_m = grid_full(m)
210         return img_m, d_metric
211
212     def predict_sp_test(image, size = (40, 40), padding=[0, 0, 0, 0]):
213         grid = Trans.Grid(size)
214         grid_full = Trans.Merge(padding=padding)
215         m = grid(image)
216         d_metric = deque()
217         for i in range(len(m)):
218             r = app.predict_test(m[i])
219             d_metric.append(float(r[1]))
220             m[i] = r[0]

```



```
221         img_m = grid_full(m)
222         return img_m, d_metric
223
224
225 app = App()
226 app.main()
227 app.load_datasets(cache=True)
228 app.save_datasets("Fsrcnn")
229
230 # Train
231 summary(app.model["fsrcnn"], input_size=(1, 40, 40))
232 app.fit(100)
233 app.save("epoch100")
234
235 # Predict
236 app.load_model("epoch100")
237
238 sel = app.load_image("./lena.png")
239 c = predict_sp_test(sel, size=(100, 100), padding=[1, 1, 1, 1])
240 print(np.average(c[1]))
241 c[0].save("./sel_predict_test.jpeg")
242
243 c = app.predict_test(sel)
244 print(float(c[1]))
245 c[0].save("./sel_app_predict_test.jpeg")
246
247 # Plotting
248 df = pd.DataFrame(app.metric._data)
249 x_step = 10
250
251 fig, ax = plt.subplots()
252 ax.plot(df["Epoch"], df["Time"], label="Time", color="red")
253 ax.set_xticks(np.arange(0, len(df)+1, x_step))
254 fig.savefig(app.get_path("fig", "{0}.png".format("Time")), dpi = 300)
255
256 fig, ax = plt.subplots()
257 ax.plot(df["Epoch"], df["loss"], label="loss", color="green")
258 ax.set_xticks(np.arange(0, len(df)+1, x_step))
259 fig.savefig(app.get_path("fig", "{0}.png".format("loss")), dpi = 300)
260
261 fig, ax = plt.subplots()
262 ax.plot(df["Epoch"], df["psnr"], label="psnr", color="blue")
263 ax.set_xticks(np.arange(0, len(df)+1, x_step))
264 ax.set_yticks(np.arange(np.floor(min(df["psnr"])), np.ceil(max(df["psnr"]))+1, 1))
265 fig.savefig(app.get_path("fig", "{0}.png".format("psnr")), dpi = 300)
```